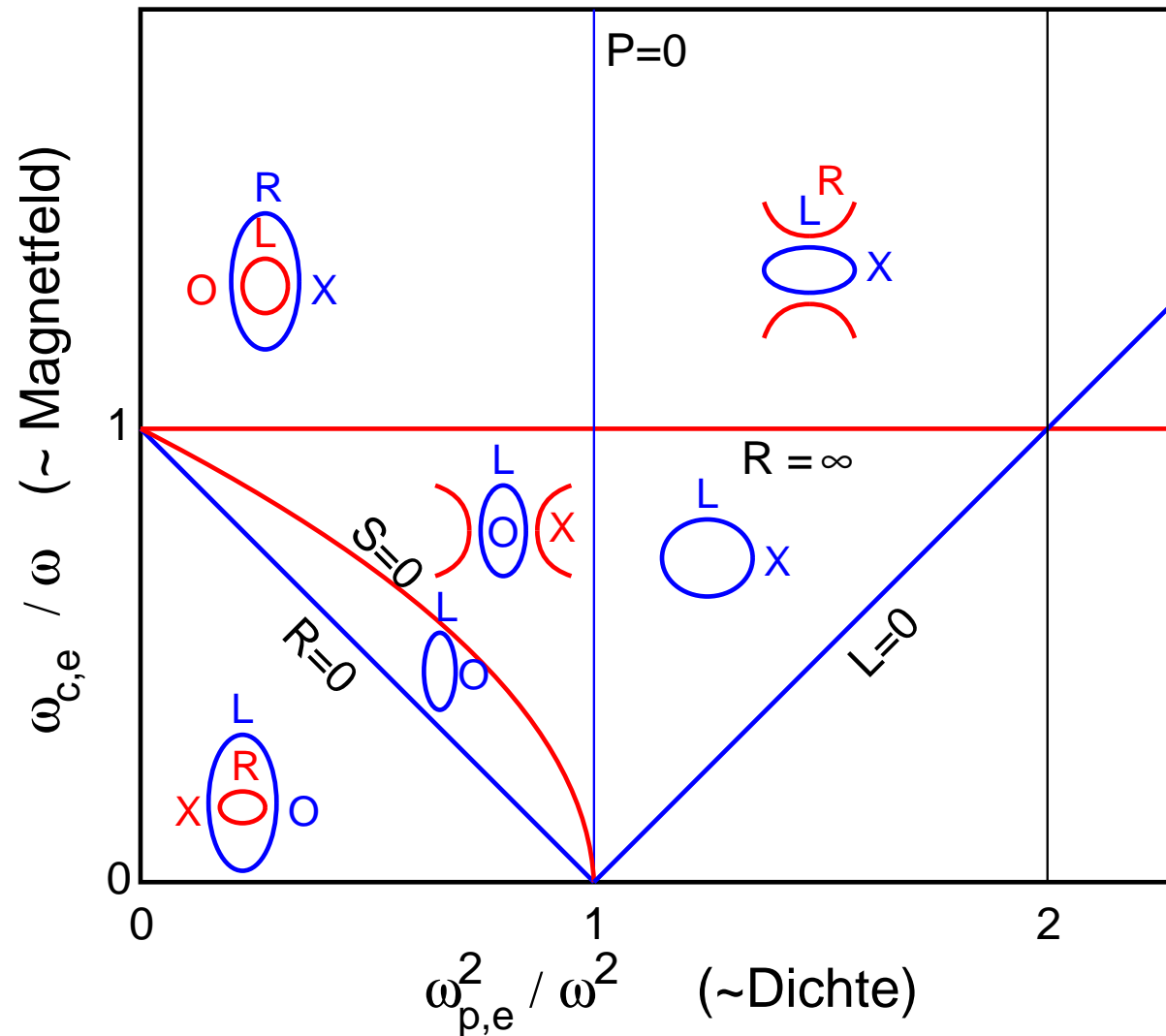


# Elektromagnetische Wellen im kalten Plasma



## Heutiges Programm

Haben zuvor elektrostatische Wellen betrachtet, mit Vereinfachungen:

- Statische Ionen, nur Elektronenschwingungen (hochfrequente Wellen)
- kein Magnetfeld ( $B_0 = 0, B_1 = 0$ )
- 1-D: Longitudinale Polarisation  $\vec{E}_1 \parallel \vec{k}$  (im Vakuum nicht ausbreitungsfähig)
- Aber: Kinetische Beschreibung! Endliche Temperatur  $\rightarrow$  Dämpfung der Welle

Heute: Benutzen **Zwei-Flüssigkeits-Gleichungen**

- Elektronen- und Ionen-Schwingungen (breiter Frequenzbereich)
- Elektromagnetische Wellen:  $\vec{B}_1 \neq 0$
- Hintergrundmagnetfeld:  $\vec{B}_0 \neq 0$
- Beliebige Ausbreitungsrichtung  $\vec{k}$  vs. Magnetfeldrichtung  $\vec{B}_0$
- beliebige Polarisationsrichtung ( $\vec{E}$  vs.  $\vec{k}$ )

Aber: Beschränken uns auf **kaltes Plasma**:  $k_B T = 0, \quad \overline{P} = 0$

- (a) keine Dämpfung      (b) keine Schallwellen (Druck = Rückstellkraft)

Ein Flüssigkeitsmodell mit endlichem Druck folgt später!

# Inhalt

- Allgemeine Herleitung:  
Wellengleichung, Brechungsindex, Dielektrizitätstensor  $\bar{\bar{\epsilon}}$ , Dispersionsrelation
- Spezielle Lösungen für:
  - $\vec{k} \parallel \vec{B}$
  - $\vec{k} \perp \vec{B}$
- Beliebige Ausbreitungsrichtung (qualitativ)  
Clemmow-Mullaly-Allis (CMA) Diagramm

## Literatur:

D Gurnett, A Bhattacharjee: Introduction to Plasma Physics, Kap. 4

F Chen: Introduction to Plasma Physics and Controlled Fusion, Vol.1, Kap. 4

T H Stix: Waves in Plasmas

# Leitfähigkeits- und Dielektrizitäts-Tensoren

Ampère'sches Gesetz:

$$\nabla \times \vec{B} = \mu_0 \left( \vec{j} + \epsilon_0 \dot{\vec{E}} \right)$$

Plasmastrom (Summe über alle Spezies  $s$  mit Ladung  $q_s$ ):

$$\vec{j} = \sum_s n_s q_s \vec{u}_s$$

Definiere formal Leitfähigkeitstensor  $\overline{\overline{\sigma}}$  so dass

$$\vec{j} = \overline{\overline{\sigma}} \vec{E}$$

Effekt des Plasmastroms kann im Dielektrizitäts-Tensor  $\overline{\overline{\epsilon}}$  absorbiert werden:

$$\nabla \times \vec{B} = \mu_0 \overline{\overline{\epsilon}} \cdot \dot{\vec{E}}, \quad \overline{\overline{\epsilon}} = \epsilon_0 \left( \overline{\overline{1}} + \frac{i}{\epsilon_0 \omega} \overline{\overline{\sigma}} \right) = \epsilon_0 \overline{\overline{\epsilon}}_r$$

# Flüssigkeits-Geschwindigkeiten

Plan: Berechne  $\bar{\bar{\epsilon}}$  für oszillierendes  $\vec{E}$ -Feld  $\propto \exp(-i\omega t)$

Ignoriere Stöße:  $v_c \ll \omega$  ( $\rightarrow$  keine Dämpfung durch Stöße)

Kraftgleichung für jede Spezies  $s$ , Vereinfachung:  $(\vec{u}_s \cdot \nabla) \vec{u}_s = 0$

$$m_s \frac{\partial \vec{u}_s}{\partial t} = \omega m_s \vec{u}_s = q_s \left( \vec{E} + \vec{u}_s \times \vec{B}_0 \right)$$

Zyklotronfrequenz:

$$\omega_{c,s} \equiv \frac{|q_s| B_0}{m_s}$$

O.b.d.A.:  $\vec{B} \parallel z$ . Lösung für  $\vec{u}_s$  ( $\pm$ , je nach Vorzeichen von  $q_s$ ):

$$u_{x,s} = \frac{iq_s}{m_s \omega} \frac{E_x \pm i(\omega_{c,s}/\omega) E_y}{1 - (\omega_{c,s}/\omega)^2}, \quad u_{y,s} = \frac{iq_s}{m_s \omega} \frac{E_y \mp i(\omega_{c,s}/\omega) E_x}{1 - (\omega_{c,s}/\omega)^2}, \quad u_{z,s} = \frac{iq_s}{m_s \omega} E_z$$

Bekannt aus Vorlesung über HF-Plasmen, hier  $\vec{E}$  mit 3 Komponenten und  $v_c \rightarrow 0$

## Plasmastrom

Benutze Identitäten:

$$\pm \frac{1}{1 - (\omega_{c,s}/\omega)^2} = \frac{1}{2} \left[ \frac{\omega}{\omega \mp \omega_{c,s}} + \frac{\omega}{\omega \pm \omega_{c,s}} \right], \quad \pm \frac{\omega_{c,s}/\omega}{1 - (\omega_{c,s}/\omega)^2} = \frac{1}{2} \left[ \frac{\omega}{\omega \mp \omega_{c,s}} - \frac{\omega}{\omega \pm \omega_{c,s}} \right]$$

Def.: Plasmafrequenz (wie ebenfalls bekannt, jedoch nun für jede Spezies)

$$\omega_{p,s}^2 \equiv \frac{n_0 q_s^2}{\epsilon_0 m_s}$$

⇒ Plasmastrom (Komponenten):

$$\frac{i}{\epsilon_0 \omega} j_x = \frac{i}{\epsilon_0 \omega} \sum_s n_{0,s} q_s u_{x,s} = -\frac{1}{2} \sum_s \frac{\omega_{p,s}^2}{\omega^2} \left[ \left( \frac{\omega}{\omega \mp \omega_{c,s}} + \frac{\omega}{\omega \pm \omega_{c,s}} \right) E_x + \left( \frac{\omega}{\omega \mp \omega_{c,s}} - \frac{\omega}{\omega \pm \omega_{c,s}} \right) i E_y \right]$$

$$\frac{i}{\epsilon_0 \omega} j_y = \frac{i}{\epsilon_0 \omega} \sum_s n_{0,s} q_s u_{y,s} = -\frac{1}{2} \sum_s \frac{\omega_{p,s}^2}{\omega^2} \left[ \left( \frac{\omega}{\omega \mp \omega_{c,s}} - \frac{\omega}{\omega \pm \omega_{c,s}} \right) i E_x + \left( \frac{\omega}{\omega \mp \omega_{c,s}} + \frac{\omega}{\omega \pm \omega_{c,s}} \right) E_y \right]$$

$$\frac{i}{\epsilon_0 \omega} j_z = -\sum_s \frac{\omega_{p,s}^2}{\omega^2} E_z$$

## Dielektrizitäts-Tensor

Def. Abkürzungen:

$$R \equiv 1 - \sum_s \frac{\omega_{p,s}^2}{\omega^2} \left( \frac{\omega}{\omega \pm \omega_{c,s}} \right), \quad L \equiv 1 - \sum_s \frac{\omega_{p,s}^2}{\omega^2} \left( \frac{\omega}{\omega \mp \omega_{c,s}} \right),$$

$$S \equiv \frac{1}{2} (L + R), \quad D \equiv \frac{1}{2} (R - L), \quad P \equiv 1 - \sum_s \frac{\omega_{p,s}^2}{\omega^2}$$

Plasmastrom in Ampère'sches Gesetz einsetzen,  
mit Definition des Dielektrizitäts-Tensors vergleichen:

$$\bar{\bar{\epsilon}} = \epsilon_0 \begin{pmatrix} S & -iD & 0 \\ iD & S & 0 \\ 0 & 0 & P \end{pmatrix} = \bar{\bar{\epsilon}}_r \epsilon_0$$

Optische Eigenschaften des Plasmas beschrieben durch  $S, D, P$  (bzw.  $R, L, P$ ).

# Wellengleichung, Brechungsindex

$\nabla \times$  Faraday-Gesetz, Ampère'sches Gesetz einsetzen:

$$\nabla \times \vec{E} = -\dot{\vec{B}} \quad \Rightarrow \quad \nabla \times (\nabla \times \vec{E}) = -\nabla \times \dot{\vec{B}} = -\mu_0 \epsilon_0 (\bar{\epsilon}_r \cdot \ddot{\vec{E}}) = -\frac{1}{c^2} \bar{\epsilon}_r \cdot \ddot{\vec{E}}$$

Wellenansatz:  $\vec{E} \propto \exp(i\vec{k} \cdot \vec{r} - i\omega t)$ .

Def. Brechungsindex-Vektor:

$$\vec{N} \equiv \frac{c}{\omega} \vec{k}$$

$\Rightarrow$  Gleichung für den Brechungsindex:

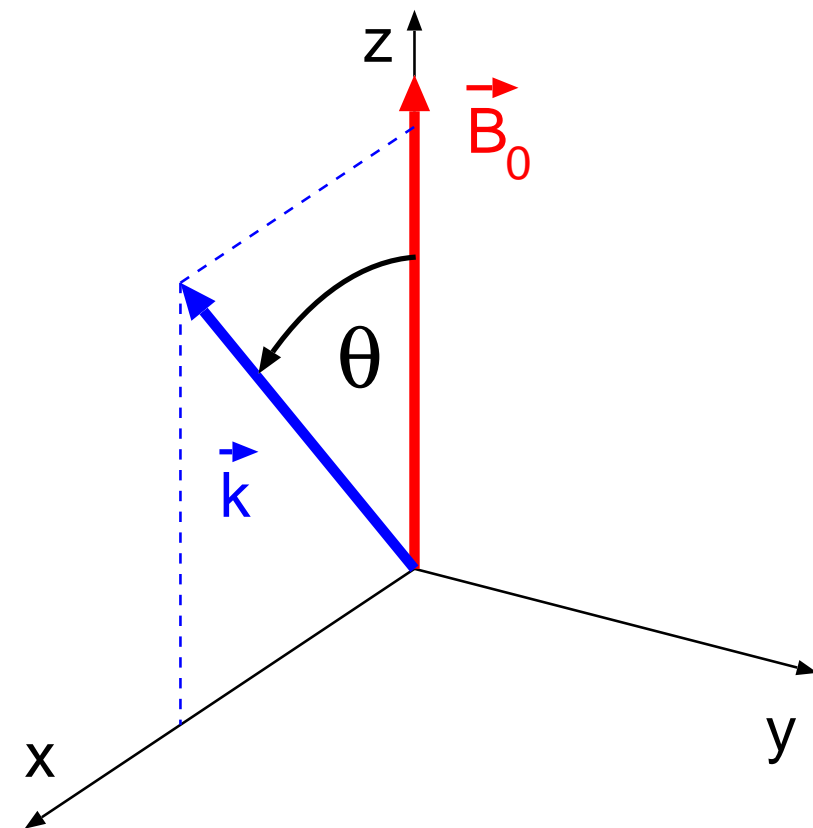
$$\vec{N} \times (\vec{N} \times \vec{E}) + \bar{\epsilon}_r \cdot \vec{E} = 0$$

O.b.d.A. Wähle  $\vec{k}$  in  $x-z$ -Ebene:

$$\vec{k} = (k_x, 0, k_z)$$

Winkel  $\theta$  zwischen  $\vec{k}$  und  $\vec{B}_0$ , so dass

$$\vec{N} = N(\sin \theta, 0, \cos \theta)$$





## Dispersionsbedingung

Gleichung für Brechungsindex in Matrixschreibweise:

$$\begin{pmatrix} S - N^2 \cos^2 \theta & -iD & N^2 \sin \theta \cos \theta \\ iD & S - N^2 & 0 \\ N^2 \sin \theta \cos \theta & 0 & P - N^2 \sin^2 \theta \end{pmatrix} \begin{pmatrix} E_x \\ E_y \\ E_z \end{pmatrix} = 0$$

Lineares, homogenes Gleichungssystem für  $\vec{E}$ .

Lösungen existieren, wenn die Koeffizientendeterminante verschwindet, d.h.

$$\tan^2 \theta = -\frac{P(N^2 - R)(N^2 - L)}{(SN^2 - RL)(N^2 - P)}$$

Lösungen für spezielle Ausbreitungsrichtungen:

$\theta = 0$	$\vec{k} \parallel \vec{B}$	$\theta = \pi/2$	$\vec{k} \perp \vec{B}$
$P = 0$	elektrostatische Oszillation	$N^2 = P$	ordentliche Welle
$N^2 = R$	rechts-polarisierte Welle	$N^2 = RL/S$	außerordentliche Welle
$N^2 = L$	links-polarisierte Welle		

## Ausbreitungsrichtung $\vec{k} \parallel \vec{B}$

$$\begin{pmatrix} S - N^2 & -iD & 0 \\ iD & S - N^2 & 0 \\ 0 & 0 & P \end{pmatrix} \begin{pmatrix} E_x \\ E_y \\ E_z \end{pmatrix} = 0$$

Koeffizientendeterminante:  $(S - N^2)^2 P - D^2 P = [(S - N^2)^2 - D^2] P = 0$

Lösungen:

- $P = 0 \quad \vec{E} = (0, 0, E_1)$   
 $\vec{u}_1 \parallel \vec{B}_0$ , keine Lorentzkraft  
 $\rightarrow$  elektrostatische Plasmaschwingung,  $\omega = \omega_p$   
 $\rightarrow$  Gruppengeschwindigkeit  $v_g \equiv \partial\omega/\partial k = 0$  (kaltes Plasma!)
- zirkular polarisierte Wellen:  $N^2 = S \pm D$ 
  - “rechts-polarisierte” Welle  $N^2 = R \quad \vec{E} = (E_1, iE_1, 0)$
  - “links-polarisierte” Welle  $N^2 = L \quad \vec{E} = (E_1, -iE_1, 0)$

Transversale Wellen, elektromagnetisch:  $i\omega\vec{B} = \vec{k} \times \vec{E} \neq 0$ ;

$\vec{k} \cdot \vec{E} = 0 \rightarrow$  keine Ladungsdichte-Oszillation.

## “R”-Welle

Betrachte Elektronen und eine Ionenspezies:

$$\frac{c^2 k^2}{\omega^2} = N^2 = R = 1 - \sum_s \frac{\omega_{p,s}^2}{\omega^2} \left( \frac{\omega}{\omega \pm \omega_{c,s}} \right) = 1 - \frac{\omega_{p,i}^2}{\omega(\omega + \omega_{c,i})} - \frac{\omega_{p,e}^2}{\omega(\omega - \omega_{c,e})}$$

- **Polstelle** (“Resonanz”,  $N^2 \rightarrow \infty$ ) für  $\omega = \omega_{c,e}$  (Elektronenzyklotronfrequenz).
  - Ankopplung an Elektronen, nicht Ionen (Gyrationssinn!)
  - Phasengeschwindigkeit  $v_\phi = \omega/k \rightarrow 0$
  - Anhäufung von Energiedichte  $\rightarrow$  Dämpfung, falls Mechanismus existiert
- **Nullstelle** ( $N = 0$ ), “cut-off”

Betrachte hohe Frequenzen,  $\omega^2 \gg \omega_{c,i}^2, \omega_{p,i}^2$ , d.h. behalte nur Elektronenterme:

$$\omega_{\pm} = \frac{\omega_{c,e}}{2} \pm \sqrt{\left(\frac{\omega_{c,e}}{2}\right)^2 + \frac{\omega_{p,e}^2}{1 - N^2}}$$

Cut-off:  $\omega = \omega_R \equiv \omega_+(N = 0)$  oder  $\omega = \omega_-(N = 0)$

- **Keine Wellenausbreitung** ( $\omega$  komplex) für  $N^2 < 0$  ( $\omega_{c,e} < \omega < \omega_R$ )

## “L”-Welle, Phasengeschwindigkeit

$$\frac{c^2 k^2}{\omega^2} = N^2 = L = 1 - \sum_s \frac{\omega_{p,s}^2}{\omega^2} \left( \frac{\omega}{\omega \mp \omega_{c,s}} \right) = 1 - \frac{\omega_{p,i}^2}{\omega(\omega - \omega_{c,i})} - \frac{\omega_{p,e}^2}{\omega(\omega + \omega_{c,e})}$$

- “Ionenzyklotron-Resonanz”:

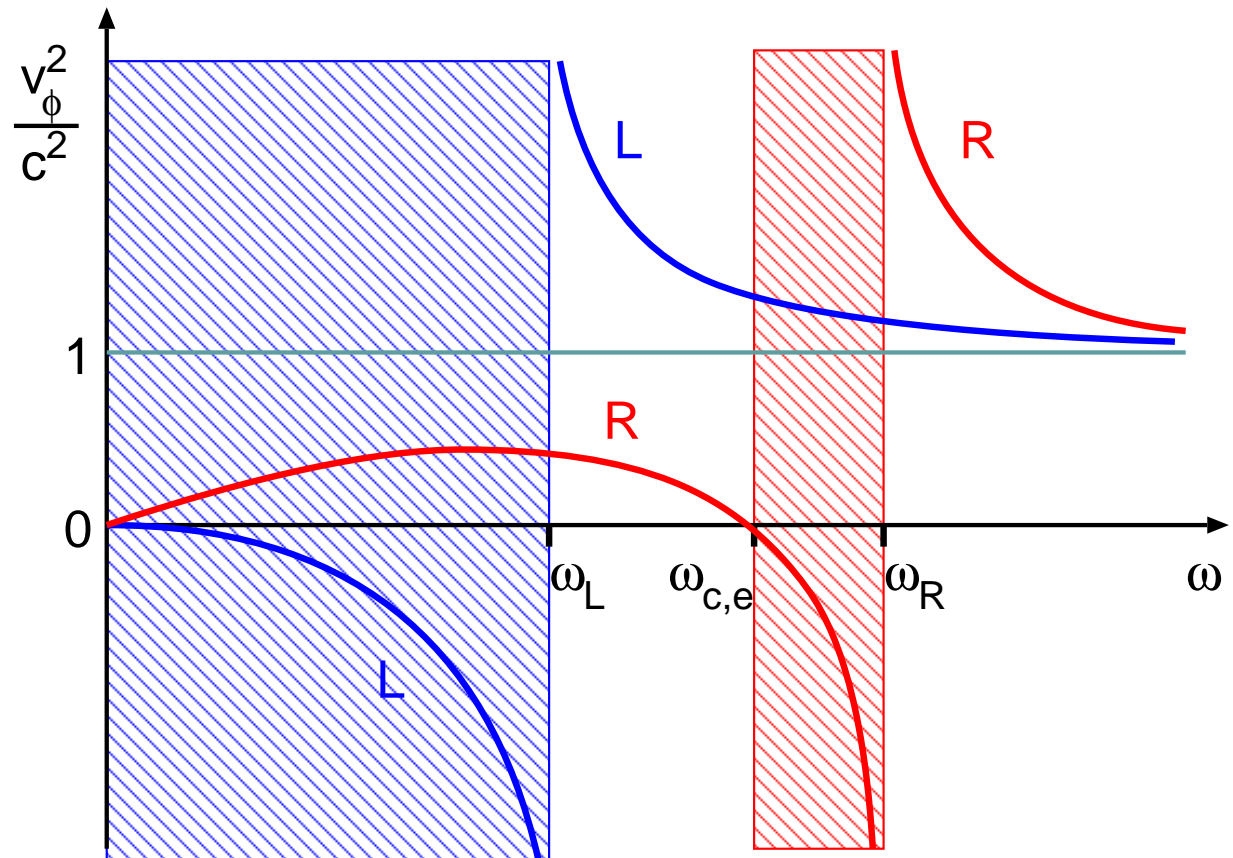
$$\omega = \omega_{c,i}$$

- $N = 0$ , “cut-off”:

$$\omega = \omega_L$$

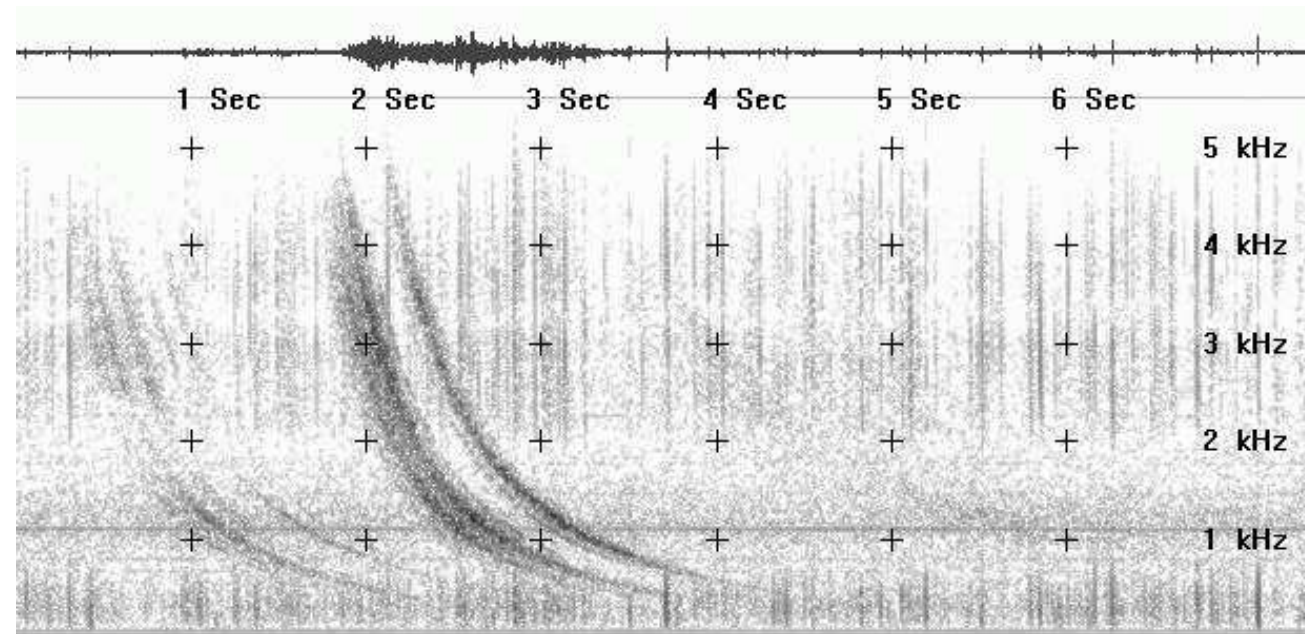
Wiederum mit  $\omega^2 \gg \omega_{c,i}^2, \omega_{p,i}^2$ :

$$\omega_L \equiv -\frac{\omega_{c,e}}{2} + \sqrt{\left(\frac{\omega_{c,e}}{2}\right)^2 + \omega_{p,e}^2}$$



## “Whistler”-Mode

### Spektrogramm



Quelle: [www.auroralchorus.com](http://www.auroralchorus.com)

Erste Beschreibung:

Heinrich Barkhausen, Physikalische Zeitschrift **20** (1919), 401-3

“Pfeifsignal”

mit abfallender Frequenz,

$$\vec{E} \perp \vec{B}.$$

Typ.: hörbare Frequenzen

$\omega < \omega_{c,e}$ , auch terrestrisch zu empfangen

Ursache:

Wellenanregung durch  
Kurzzeitige Entladungen  
(Blitze)

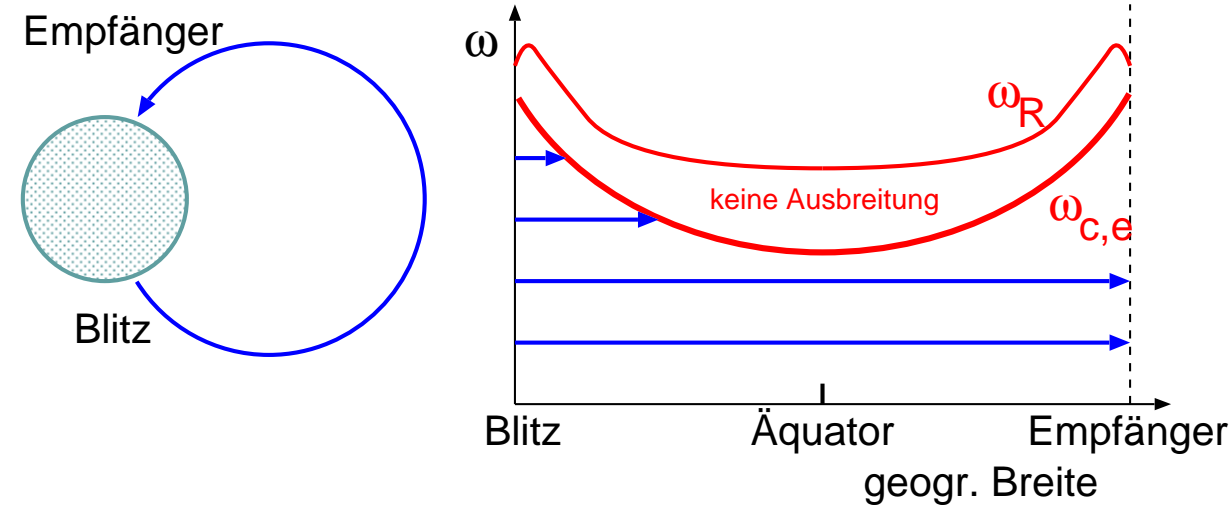
+ Ausbreitung  $\parallel B$

## Dispersionsrelation: “Whistler”-Mode

Für  $\omega < \omega_L$  ist nur R-Welle ausbreitungsfähig:  $v_\phi/c \ll 1$ ,  $N \gg 1$ .

→ Näherung für Dispersionsrelation:

$$\frac{c^2 k^2}{\omega^2} = N^2 = R = 1 - \frac{\omega_{p,i}^2}{\omega(\omega + \omega_{c,i})} - \frac{\omega_{p,e}^2}{\omega(\omega - \omega_{c,e})} \approx 1 - \frac{\omega_{p,e}^2}{\omega(\omega - \omega_{c,e})} \approx \frac{\omega_{p,e}^2}{\omega(\omega_{c,e} - \omega)}$$



Gruppengeschwindigkeit:

$$v_g = \frac{d\omega}{dk} = 2c \frac{\omega^{1/2} (\omega_{c,e} - \omega)^{3/2}}{\omega_{c,e} \omega_{p,e}}$$

Signal-Laufzeit:

$$\Delta t(\omega) = \frac{1}{c\omega} \int \frac{\omega_{p,e} \omega_{c,e}}{(\omega_{c,e} - \omega)^{3/2}} ds$$

## Faraday-Rotation

Betrachte linear polarisierte Welle,  $\vec{k} \parallel \vec{B} \parallel \vec{e}_z$ , Überlagerung aus R- und L-Wellen:

$$E_y = \frac{1}{2} E_1 [\sin(k_L z - \omega t) - \sin(k_R z - \omega t)]$$

$$E_x = \frac{1}{2} E_1 [\cos(k_L z - \omega t) - \cos(k_R z - \omega t)]$$

Additionstheoreme:

$$E_y = \frac{1}{2} E_1 \sin\left[\frac{1}{2}(k_L - k_R)z\right] \cos\left[\frac{1}{2}(k_L + k_R)z - \omega t\right]$$

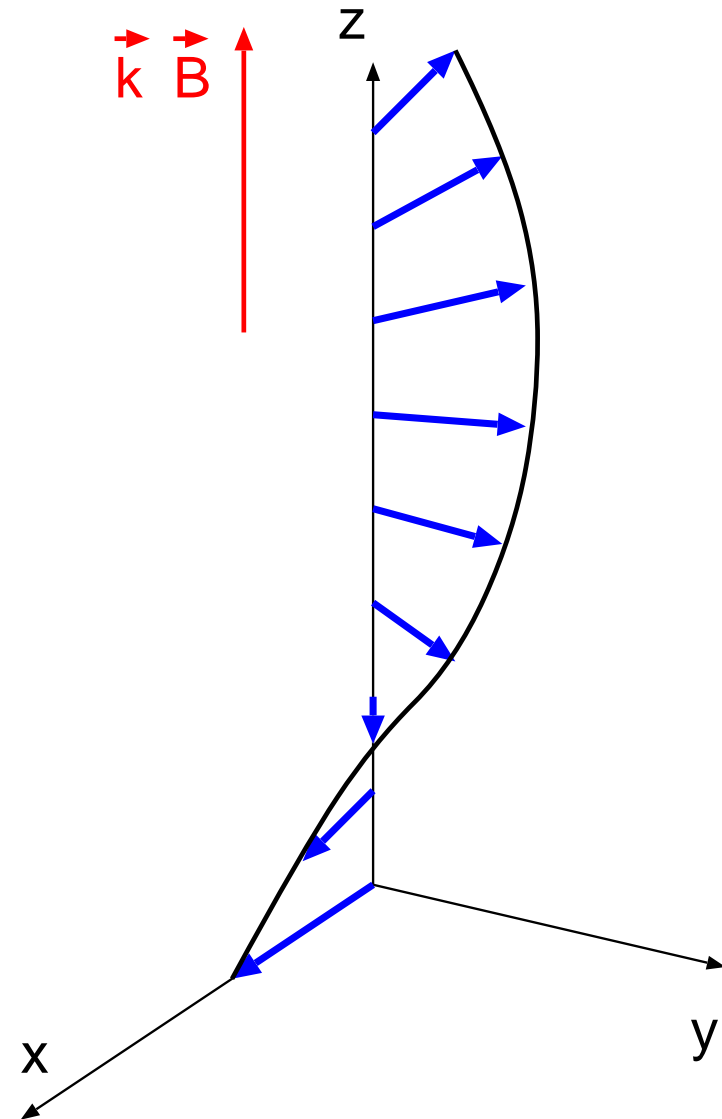
$$E_x = \frac{1}{2} E_1 \cos\left[\frac{1}{2}(k_L - k_R)z\right] \cos\left[\frac{1}{2}(k_L + k_R)z - \omega t\right]$$

$$\Rightarrow \frac{E_y}{E_x} = \tan \Psi = \tan \left[ \frac{1}{2} (k_L - k_R) z \right]$$

Für  $\omega \gg \omega_{c,e}, \omega_{p,e}$ :

$$N_{R,L} = k_{R,L} \frac{c}{\omega} = \frac{1}{2} \frac{\omega_{p,e}^2}{\omega^2} \left( 1 \pm \frac{\omega_{c,e}}{\omega} \right)$$

$$\Psi \approx \frac{1}{2c} \left( \frac{\omega_{p,e}^2 \omega_{c,e}}{\omega} \right) z \propto n B$$



## Ausbreitungsrichtung $\vec{k} \perp \vec{B}$

$$\begin{pmatrix} S & -iD & 0 \\ iD & S - N^2 & 0 \\ 0 & 0 & P - N^2 \end{pmatrix} \begin{pmatrix} E_x \\ E_y \\ E_z \end{pmatrix} = 0$$

Koeffizientendeterminante:  $S(S - N^2)(P - N^2) - D^2(P - N^2) = [S(S - N^2) - D^2] (P - N^2) = 0$

Lösungen:

- “Ordentliche” Welle (*O-mode*):  $N^2 = P$        $\vec{E} = (0, 0, E_1)$ 
  - $\vec{E} \parallel \vec{B}_0$
  - transversale Welle:  $\vec{E} \perp \vec{k}$
- “Außerordentliche” Welle (*X-mode*):  $N^2 = RL/S$        $\vec{E} = (iE_1 D/S, E_1, 0)$ 
  - $\vec{E} \perp \vec{B}_0$
  - longitudinale und transversale Komponenten, elliptische Polarisation

N.B. O- bzw. X-mode haben im Festkörper (bezüglich Kristallachse) umgekehrte Bedeutung.



## “Ordentliche” Welle (*O-mode*)

Näherung: Behalte nur Elektronen-Terme ( $\omega_p^2 = n_s e^2 / m_s \epsilon_0$  größer um  $m_i / m_e$ )

$$\frac{c^2 k^2}{\omega^2} = N^2 = P = 1 - \sum_s \frac{\omega_{p,s}^2}{\omega^2} \approx 1 - \frac{\omega_{p,e}^2}{\omega^2}$$

→ Dispersionsrelation

$$\omega^2 = c^2 k^2 + \omega_{p,e}^2$$

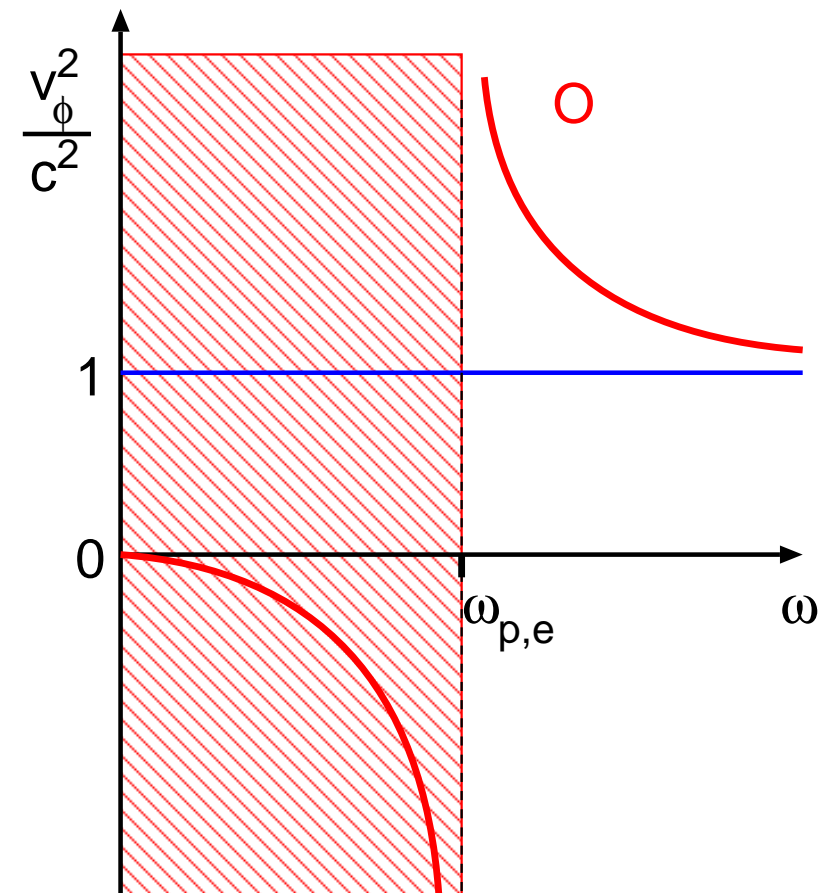
Phasengeschwindigkeit - schneller als das Licht

$$v_\phi^2 = \frac{\omega^2}{k^2} = c^2 + \frac{\omega_{p,e}^2}{k^2} > c^2$$

Gruppengeschwindigkeit ( $< c$ )

$$v_g = \frac{d\omega}{dk} = \frac{1}{2} \omega^{-1} \cdot 2kc^2 = \frac{c^2}{v_\phi}$$

- Wie für  $B = 0$
- keine Ausbreitung f.  $\omega < \omega_{p,e}$  ( $N, k \rightarrow 0$ ; “cut-off”)



## “Außerordentliche” Welle (*X-mode*)

$$N^2 = \frac{RL}{S} = \frac{\left[1 - \sum_s \frac{\omega_{p,s}^2}{\omega^2} \left( \frac{\omega}{\omega \pm \omega_{c,s}} \right)\right] \left[1 - \sum_s \frac{\omega_{p,s}^2}{\omega^2} \left( \frac{\omega}{\omega \mp \omega_{c,s}} \right)\right]}{1 - \sum_s \frac{\omega_{p,s}^2}{\omega^2 - \omega_{c,s}^2}}$$

Nenner  $S \rightarrow 0$  ergibt Polstelle ( $N, k \rightarrow \infty$ ).

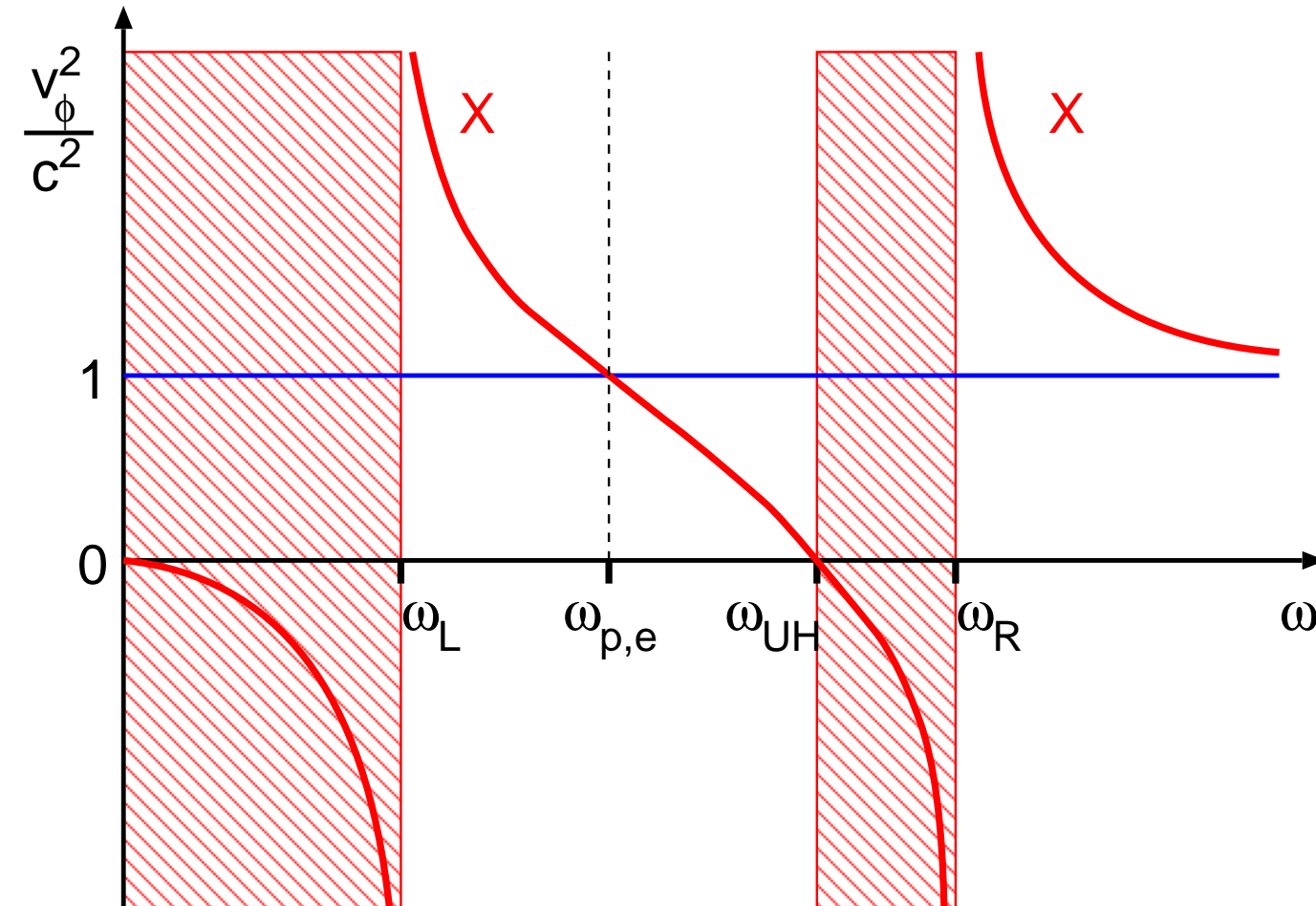
- Nur Elektronen:  $\omega_{UH}^2 = \omega_{p,e}^2 + \omega_{c,e}^2$ , “obere Hybridresonanz” (*upper hybrid resonance*)
- Elektronen und 1 Ionenspezies: zusätzliche Resonanz zwischen  $\omega_{p,i}$  und  $\omega_{c,e}$ ,  
“Untere Hybridresonanz” (*lower hybrid resonance*). Mit (typ.)  $\omega_{c,i} \ll \omega_{LH} \ll \omega_{c,e}$ :

$$\frac{1}{\omega_{LH}^2} \approx \frac{1}{\omega_{p,i}^2} + \frac{1}{\omega_{c,i}\omega_{c,e}}$$

- Elektronen und 2 Ionenspezies: zusätzliche “Ionen-Hybridresonanz” (usw.)
- Ohne weiteres *keine* Zyklotronresonanzen bei  $\omega = \omega_{c,e}, \omega_{c,i}$  (Zähler  $\sim$  Nenner)  
Dämpfung jedoch möglich durch (a) Stöße (s. Teil I), (b) kinetisch (heißes Plasma)

# X-Mode, Zusammenfassung

Phasengeschwindigkeit, nur Elektronen



cut-offs ( $N \rightarrow 0, v_\phi \rightarrow \infty$ ):

$$\omega_R = \frac{\omega_{c,e}}{2} + \sqrt{\left(\frac{\omega_{c,e}}{2}\right)^2 + \omega_{p,e}^2}$$

$$\omega_L = -\frac{\omega_{c,e}}{2} + \sqrt{\left(\frac{\omega_{c,e}}{2}\right)^2 + \omega_{p,e}^2}$$

Resonanzen: ( $N \rightarrow \infty, v_\phi \rightarrow 0$ ):

$$\omega_{UH}^2 = \omega_{p,e}^2 + \omega_{c,e}^2$$

Mit 1 Ionenspezies:

$$\frac{1}{\omega_{LH}^2} \approx \frac{1}{\omega_{p,i}^2} + \frac{1}{\omega_{c,i}\omega_{c,e}}$$

+ weitere Resonanzen für  
mehrere Ionenspezies

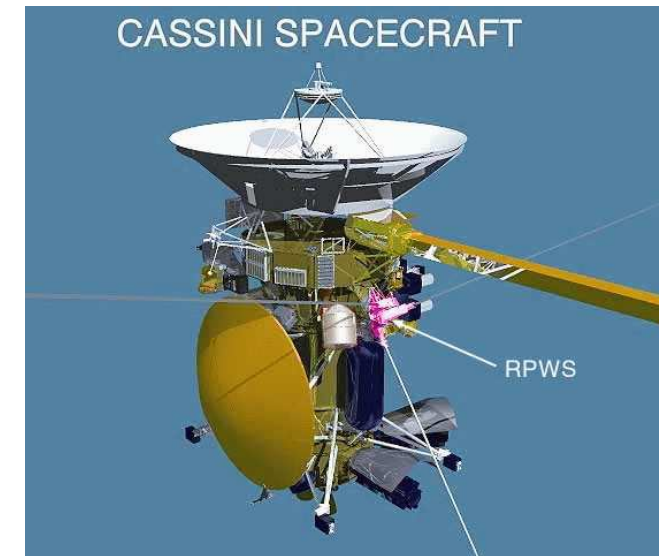
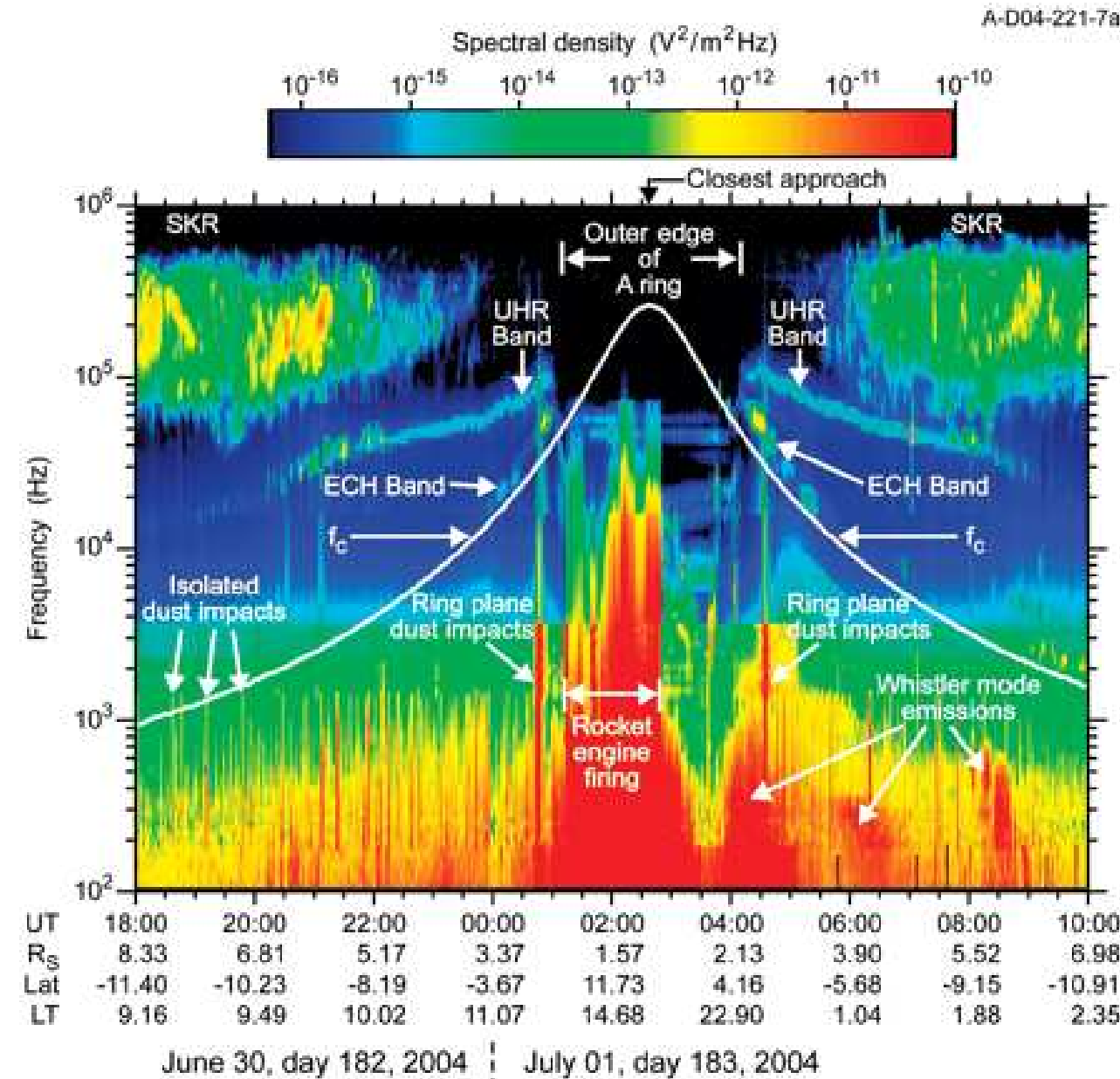
# Cassini-Sonde kreuzt Magnetosphäre des Saturn

Magnetosphäre des Saturns:

$$R \approx 30R_S, n_e \leq 1.5 \times 10^8 \text{ m}^{-3}$$

Da  $f_{c,e} \ll f_{p,e}$ , gilt in Näherung:

$$f_{UH}^2 = f_{c,e}^2 + f_{p,e}^2 \approx f_{p,e}^2$$



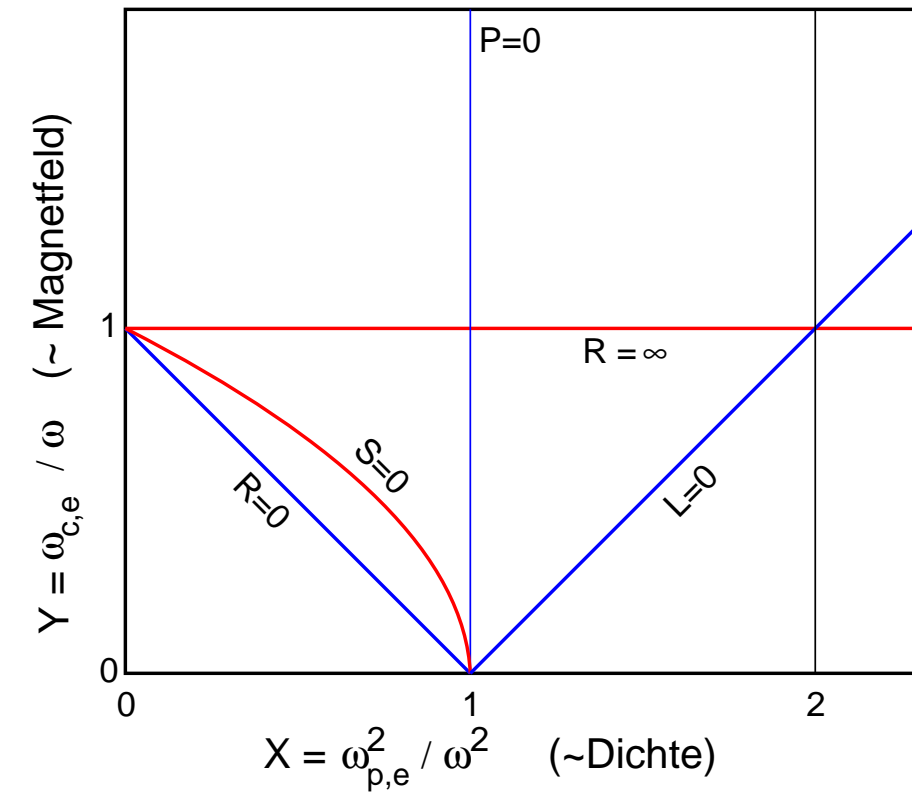
Quelle:

D A Gurnett et al., Science **307** (2005) 1255,

[www.sciencemag.org](http://www.sciencemag.org)

# Zusammenfassung: Clemmow-Mullaly-Allis (CMA) - Diagramm

CMA Diagramm für (kalte) Elektronen  
(und unbewegliche Ionen)



$$\omega_{c,e} = \frac{eB_0}{m_e} \quad \omega_{p,e}^2 = \frac{n_e e^2}{m_e \epsilon_0},$$

Vernachlässige Ionenterme:

$$L, R = 1 - \frac{\omega_{p,e}^2}{\omega(\omega \pm \omega_{c,e})}; \quad S = 1 - \frac{\omega_{p,e}^2}{\omega^2 - \omega_{c,e}^2}; \quad P = 1 - \frac{\omega_{p,e}^2}{\omega^2}$$

$$\text{Def.: } X \equiv \omega_{p,e}^2 / \omega^2, \quad Y \equiv \omega_{c,e} / \omega.$$

$$L = 1 - \frac{X}{1+Y}; \quad R = 1 - \frac{X}{1-Y}; \quad S = 1 - \frac{X}{1-Y^2}; \quad P = 1 - X$$

**Cut-offs und Resonanzen:**

$R = 0$	$X = 1 - Y$	R cut-off
$L = 0$	$X = 1 + Y$	L cut-off
$P = 0$	$X = 1$	Plasmafrequenz
$S = 0$	$X = 1 - Y^2$	Hybridresonanz
$R = \infty$	$Y = 1$	Zyklotronresonanz

## Beliebige Ausbreitungsrichtung

Dispersionsrelation:

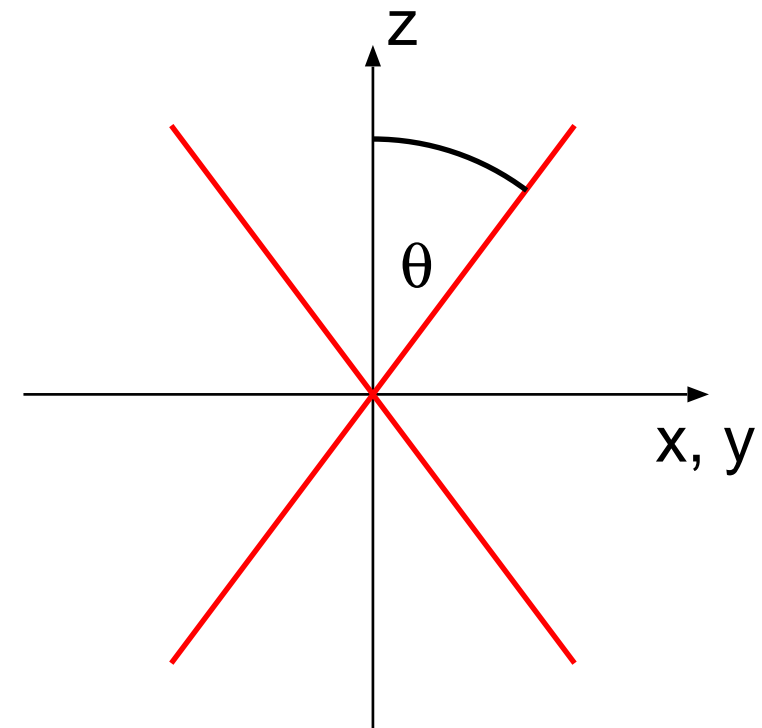
$$\tan^2 \theta = -\frac{P(N^2 - R)(N^2 - L)}{(SN^2 - RL)(N^2 - P)}$$

Umschreiben als quadratische Gleichung für  $N^2$ :

$$N^4 (S \sin^2 \theta + P \cos^2 \theta) - N^2 [RL \sin^2 \theta + PS (1 + \cos^2 \theta)] + PRL = 0$$

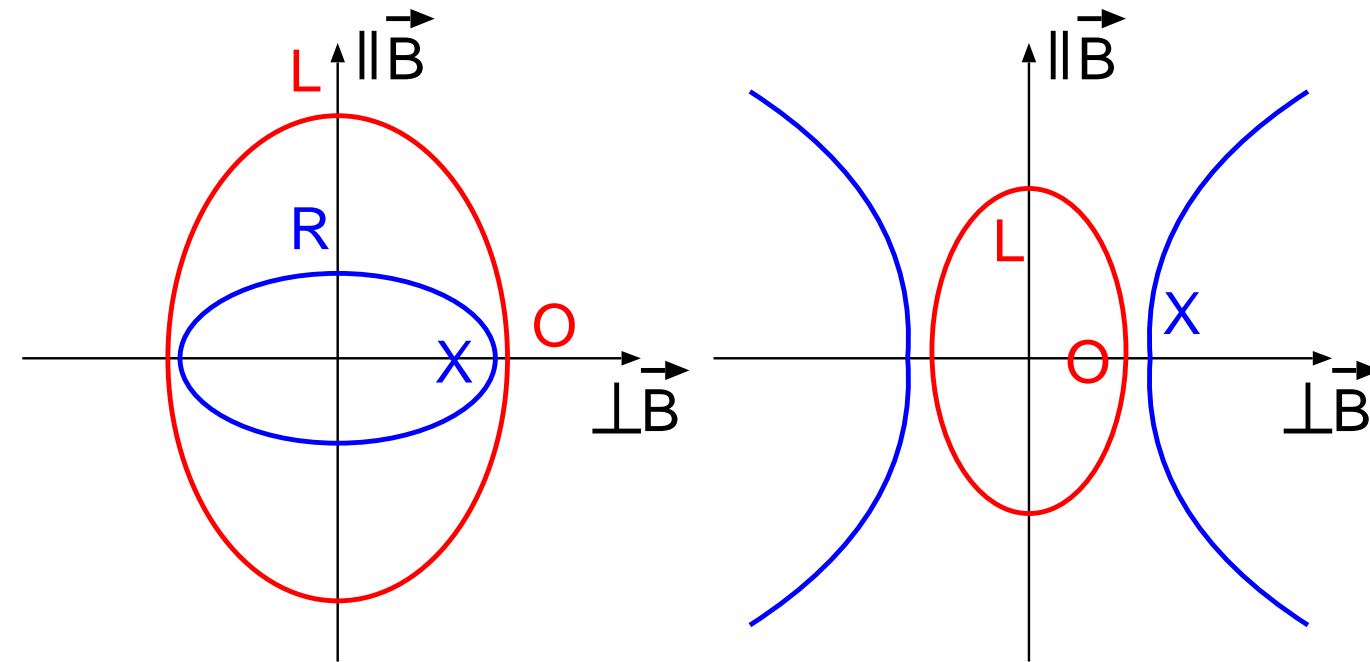
Symmetrieeigenschaften für  $N^2$ :

1. Spiegelsymmetrie um  $\theta = \pi/2$  (Achse  $\perp \vec{B}$ ),  
(da nur  $\sin^2 \theta, \cos^2 \theta$  eingehen)
2. Cut-off ( $N = 0$ ): Frequenz unabhängig von  $\theta$   
(da  $RLP \neq f(\theta)$ )
3. Resonanzen ( $N \rightarrow \infty$ ) für  $\tan^2 \theta = -P/S$   
(Resonanzkegel).  
Nur eine Mode gleichzeitig in Resonanz für  $\theta = 0 \dots \pi/2$ .
4. Keine Entartung von  $N^2$  für verschiedene Moden  
(ausser  $\theta = 0, \pi/2$ )



# Winkelabhängigkeit von $N$ (qualitativ)

$\vec{N}$  im Polardiagramm:



**keine Resonanz**

$$\omega > \omega_R$$

(elektromagnetische Welle):

$$O \leftrightarrow L,$$

$$X \leftrightarrow R$$

**Resonanz mit**

**Ausbreitung  $\perp \mathbf{B}$**

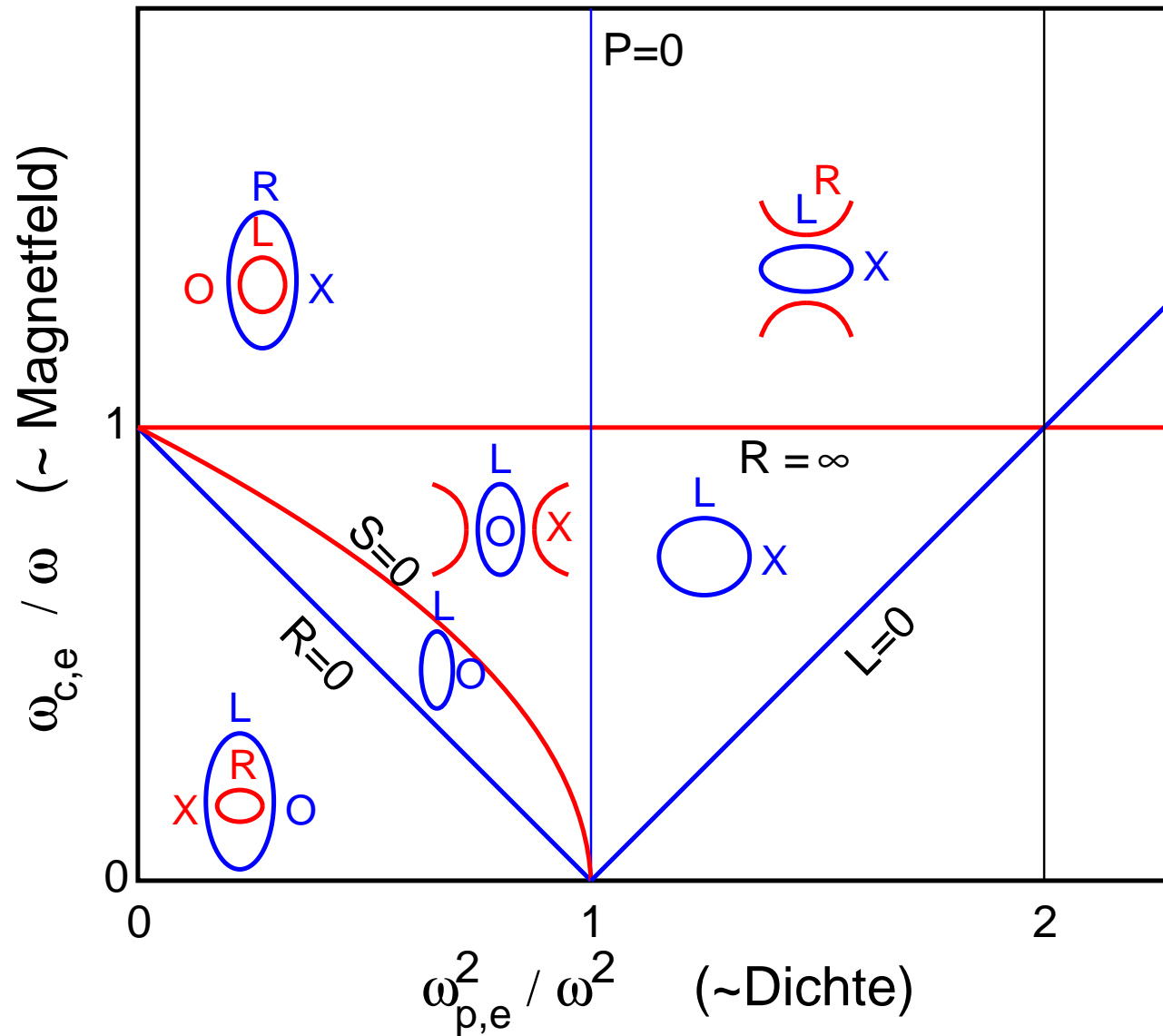
$$\omega \geq \omega_{c,e}, \omega_{p,e}, \omega \leq \omega_{UH}$$

(R-Welle im cut-off):

$$O \leftrightarrow L$$

## CMA-Diagramm (2)

Mit Winkelabhängigkeit von  $N$ :





## Zusammenfassung

- Neben den (bereits behandelten) Ionenwellen gibt es im Plasma hochfrequente Wellen mit nicht vernachlässigbarer Elektronen-Trägheit und Maxwell'schem Verschiebungsstrom. Der Rolle der Elektronen wird durch eine Behandlung im Zweiflüssigkeits-Modell Rechnung getragen, wobei für hohe Frequenzen der Druckgradient vernachlässigt wird ("kaltes Plasma").
- Analog zur Ausbreitung elektromagnetischer Wellen in anderen Medien wird ein Dielektrizitätstensor definiert, der alle Plasmaeffekte (Plasmastrom) beinhaltet.
- Aus der Wellengleichung ergibt sich eine Dispersionsrelation mit bis zu drei Lösungen (je nach Frequenz und Ausbreitungsrichtung), die verschiedene longitudinale und transversale Schwingungsmoden beschreiben.
- Für verschwindenden Brechungsindex ( $N \rightarrow 0$ ) bzw. imaginäres  $N$  sind Wellen nicht ausbreitungsfähig und werden reflektiert.
- Für  $N \rightarrow \infty$  treten Resonanzen auf, an denen die Wellenenergie absorbiert wird. Der Absorptionsmechanismus selbst (durch Stöße und stossfreie Dämpfung) wird allerdings im idealen MHD-Modell nicht beschrieben.
- Wellenausbreitungsphänomene, z. B. den Whistler-Mode  $\parallel \vec{B}$  und Emission und Absorption an Resonanzen (Hybrid- und Zyklotronresonanz) wird häufig beobachtet, z.B. in der Magnetosphäre (von verschiedenen Planeten).